

Versuch 353

Das Relaxationsverfahren eines RC-Kreises

Sadiah Azeem

sadiah.azeem@tu-dortmund.de

Nils Metzner

nils.metzner@tu-dortmund.de

Durchführung: 16.11.2021

Abgabe: 23.11.2021

TU Dortmund – Fakultät Physik

Inhaltsverzeichnis

1	Theorie	3
1.1	Relaxationsgleichung	3
1.2	Auf- und Entladevorgaenge am Kondensator	3
1.3	Auf- und Entladevorgaenge bei Wechselspannung	3
1.4	Integration im RC-Kreis	4
2	Durchführung	4
2.1	Vorbereitungsaufgaben	4
2.2	Aufgaben	4
2.3	Aufbau	5
3	Messwerte	5
4	Auswertung	10
5	Diskussion	15
6	Anhang	15
	Literatur	17

1 Theorie

Die Relaxation eines Systems ist der Übergang aus dem ausgelenkten in den Ausgangszustand. In diesem Versuch ist das zu untersuchende System ein RC-Schaltkreis.

Die Entladung des Kondensators durch einen Strom, der durch den Widerstand fließt, ist ein Beispiel für die Relaxation.

1.1 Relaxationsgleichung

Die allgemeine Relaxationsgleichung besteht aus der beschränkten Größe $A(t)$, der Proportionalitätskonstante $c < 0$ und den konstanten Werten $A(0)$ und $A(\infty)$.

c variiert je nach Relaxationsvorgang und gibt Auskunft über die Geschwindigkeit des Entladevorganges.

Die Änderungsrate von A wird als proportional zur Auslenkung angenommen:

$$\frac{dA}{dt} = c[A(t) - A(\infty)] \quad (1)$$

diese Gleichung wird dann mit dt multipliziert und dann über das Intervall $[0; t]$ integriert. Es ergibt sich:

$$\ln \frac{A(t) - A(\infty)}{A(0) - A(\infty)} = ct \Leftrightarrow A(t) = A(\infty) + [A(0) - A(\infty)] \cdot \exp(ct) \quad (2)$$

1.2 Auf- und Entladevorgänge am Kondensator

Die klassische Elektrodynamik bringt die grundlegenden Beziehungen $I = \frac{U}{R}$ und $U_C = \frac{Q}{C}$ hervor.

Daraus lässt sich die Änderungsrate $\frac{dQ}{dt} = -\frac{1}{RC}Q(t)$ der Kondensatorladung bestimmen.

Unter der Randbedingung, dass bei einem Entladevorgang $Q(\infty) = 0$ gelten muss, ergibt sich nach den gleichen Umformungen, wie bei der allgemeinen Relaxationsgleichung (1)

$$Q(t) = Q(0) \cdot \exp\left(-\frac{t}{RC}\right) \quad (3)$$

$\frac{1}{RC}$ ist hier die Zeitkonstante (wie oben c).

1.3 Auf- und Entladevorgänge bei Wechselspannung

Die angelegte Wechselspannung $U(t) = U_0 \cos(\omega t)$ lässt sich als periodische Anregung beschreiben, wie sie auch aus der Mechanik bekannt ist.

Zwischen U_G und U_C bildet sich der Phasenversatz $\varphi(\omega)$, sodass U_C wie folgt beschrieben werden kann:

$$U_C = A(\omega) \cdot \cos(\omega t + \varphi(\omega)) \quad (4)$$

Daraus erhält man die Beziehung zwischen Frequenz und Phase:

$$\varphi(\omega) = \arctan(-\omega RC). \quad (5)$$

Womit sich auch die folgende Beziehung zwischen der Amplitude und der Kondensatorspannung herleiten:

$$A(\omega) = \frac{U_0}{\sqrt{1 + \omega^2 R^2 C^2}}. \quad (6)$$

1.4 Integration im RC-Kreis

Bei geeigneten Frequenzen $\omega \gg RC$ und Spannungen $|U_C| \gg |U_G|$ erhält man durch die integrierende Funktion des RC-Gliedes

$$U_C = \frac{1}{RC} \int_0^t U(\tau) d\tau \quad (7)$$

[1]

2 Durchführung

2.1 Vorbereitungsaufgaben

In V353 sind keine Vorbereitungsaufgaben vorgesehen.

2.2 Aufgaben

In Teil **a)** soll die Zeitkonstante des RC-Gliedes mit Hilfe der Schaltung in Abbildung 1 bestimmt werden.

Dazu werden Auf- und Entladevorgänge des Kondensators durch eine Rechteckspannung herbeigeführt und auf dem Oszilloskop die Kondensatorspannung in Abhängigkeit davon beobachtet.

Die Teilaufgabe **b)** sieht vor, dass man die Schaltung aus Abbildung 2 die Generatorspannung in Sinusform umstellt.

Gemessen werden soll hier die Amplitude $A(\omega)$ der Kondensatorspannung $U_C = A(\omega) \cdot \cos(\omega t + \varphi(\omega))$ in Abhängigkeit der Frequenz der Sinusspannung.

c) ist die Bestimmung der Phasenverschiebung zwischen Kondensator- und Generatorspannung in Abhängigkeit von der Frequenz der Sinusspannung.

Es wird erneut die Schaltung aus Abbildung 2 genutzt.

Die Messwerte für **b)** und **c)** konnten in einem Messdurchgang genommen werden, bei dem die Frequenz in kleinen Schritten erhöht wird.

In Teilaufgabe **d)** wird bewiesen, dass die vorliegende Schaltung 3 als Integrator genutzt werden kann.

Hierzu stellt man nacheinander eine Rechteck-, Dreieck- und Sinusspannung am Generator ein und dokumentiert die Kondensatorspannung, die proportional zum Integral der Generatorspannung über die Zeit sein sollte.

2.3 Aufbau

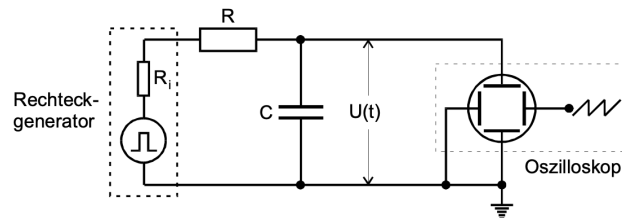


Abbildung 1: Das Ersatzschaltbild zu Teilaufgabe a)

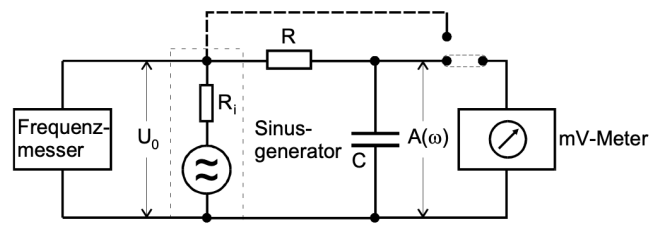


Abbildung 2: Das Ersatzschaltbild zu Aufgabe b) und c)

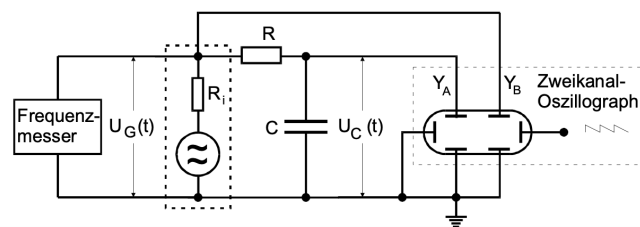


Abbildung 3: Das Ersatzschaltbild zu Teilaufgabe d)

3 Messwerte

Tabelle 1: Die Tabelle mit allen vor Ort aufgenommenen Messdaten.

f / kHz	U_c / V	U_G / V	$a / \mu\text{s}$	$b / \mu\text{s}$
0,110	7,5	3,5	400	4000
0,189	6	3,5	300	2200
0,250	5	3,5	300	1700
0,2995	4	3,5	250	1400
0,4008	3,4	3,6	200	1000
0,514	2,2	3,6	160	840
0,998	1,6	3,6	100	440
2,051	0,8	3,6	40	200
3,12	0,6	3,6	40	140
5,17	0,25	3,6	20	80
9,08	0,2	3,6	4	16
22,34	0,08	3,6	4	20
30,37	0,06	3,6	4	14
35,15	0,05	3,6	4	12
40,09	0,04	3,6	4	12
42,33	0,04	3,6	2	10
44,05	0,04	3,6	2	10
46,16	0,04	3,6	2	10
48,32	0,04	3,6	2	10
51,24	0,03	3,6	2	8,5

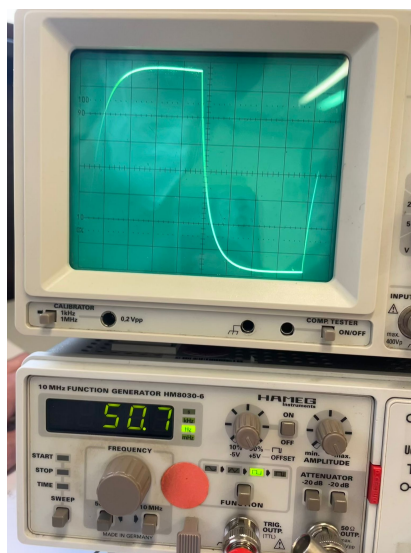


Abbildung 4: Der Entladungsprozess des Kondensators.

Tabelle 2: Eine Tabelle mit den aufgenommenen Messdaten aus Abbildung 4 des Entladungsprozesses des Kondensators.

U_c / V	t / ms	$\ln(\frac{U_c}{U_0})$	U_c / V	t / ms	$\ln(\frac{U_c}{U_0})$
3,4	0,04	-0,057	1,6	0,3	-0,811
3,2	0,08	-0,118	1,4	0,34	-0,944
3	0,09	-0,182	1,2	0,48	-1,099
2,8	0,1	-0,251	1	0,53	-1,281
2,6	0,13	-0,325	0,8	0,62	-1,504
2,4	0,16	-0,405	0,6	0,73	-1,792
2,2	0,19	-0,492	0,4	0,9	-2,197
2	0,24	-0,588	0,2	1,1	-2,890
1,8	0,28	-0,693	0,1	1,4	-3,584

Tabelle 3: Eine Tabelle mit den Wertepaaren für Aufgabenteil b)

f / kHz	$\frac{U_c}{U_0} / \text{V}$
0,110	2,083
0,189	1,667
0,250	1,389
0,2995	1,111
0,4008	0,944
0,514	0,611
0,998	0,444
2,051	0,222
3,12	0,167
5,17	0,069
9,08	0,056
22,34	0,022
30,37	0,017
35,15	0,014
40,09	0,011
42,33	0,011
44,05	0,011
46,16	0,011
48,32	0,011
51,24	0,008

Tabelle 4: Eine Tabelle mit den Wertepaaren für Teilaufgabe c) mit den aus den Messwerten von a und b aus Tabelle 1 mit Formel $\frac{a}{b} \cdot 2\pi = \varphi$ berechneten φ .

f / kHz	φ / rad
0,110	0,6283
0,189	0,8568
0,250	1,1088
0,2995	1,122
0,4008	1,2566
0,514	1,1968
0,998	1,428
2,051	1,2566
3,12	1,7952
5,17	1,5708
9,08	1,5708
22,34	1,2566
30,37	1,7952
35,15	2,0944
40,09	2,0944
42,33	1,2566
44,05	1,2566
46,16	1,2566
48,32	1,2566
51,24	1,4784

Tabelle 5: Die Wertepaare für den Polarplot

$\frac{U_c}{U_0} / \text{V}$	φ / rad
2,083	0,6283
1,667	0,8568
1,389	1,1088
1,111	1,122
0,944	1,2566
0,611	1,1968
0,444	1,428
0,222	1,2566
0,167	1,7952
0,069	1,5708
0,056	1,5708
0,022	1,2566
0,017	1,7952
0,014	2,0944
0,011	2,0944
0,011	1,2566
0,011	1,2566
0,011	1,2566
0,011	1,2566
0,008	1,4784

4 Auswertung

Es wurden aus Abbildung 4 die Werte in Tabelle 2 entnommen und nach Gleichung (3) folgt für die lineare Regression:

$$\ln\left(\frac{U_c}{U_0}\right) = -\frac{1}{RC} \cdot t + b. \quad (8)$$

Woraus die Zeitkonstante RC bestimmt wird.

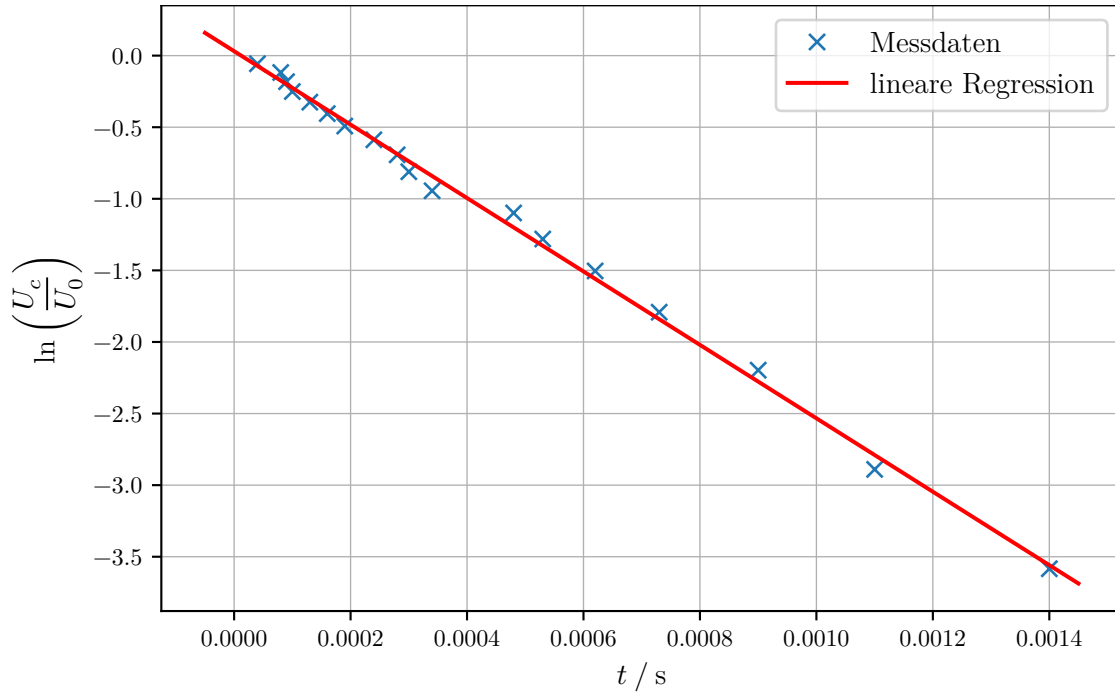


Abbildung 5: Lineare Regression nach (8) und Messdaten aus Tabelle 2 zur Bestimmung der Zeitkonstante RC über den Entladungsprozess des Kondensators.

Es ergibt sich aus der linearen Regression in Abbildung 5:

$$RC = (0.39001 \pm 0.00056)\text{ms}$$

$$b = 0.030872 \pm 0.021421.$$

Anschließend wurde die Zeitkonstante RC mit den Wertepaaren der Relativamplitude $\frac{U_c}{U_0}$ und der Generatorfrequenz f aus Tabelle 3 mithilfe der folgende Ausgleichsrechnung bestimmt:

$$\frac{U_c}{U_0} = e^{(-a \cdot f + b)}. \quad (9)$$

Wobei bei dieser Ausgleichsrechnung die Zeitkonstante $RC = a$ ist.

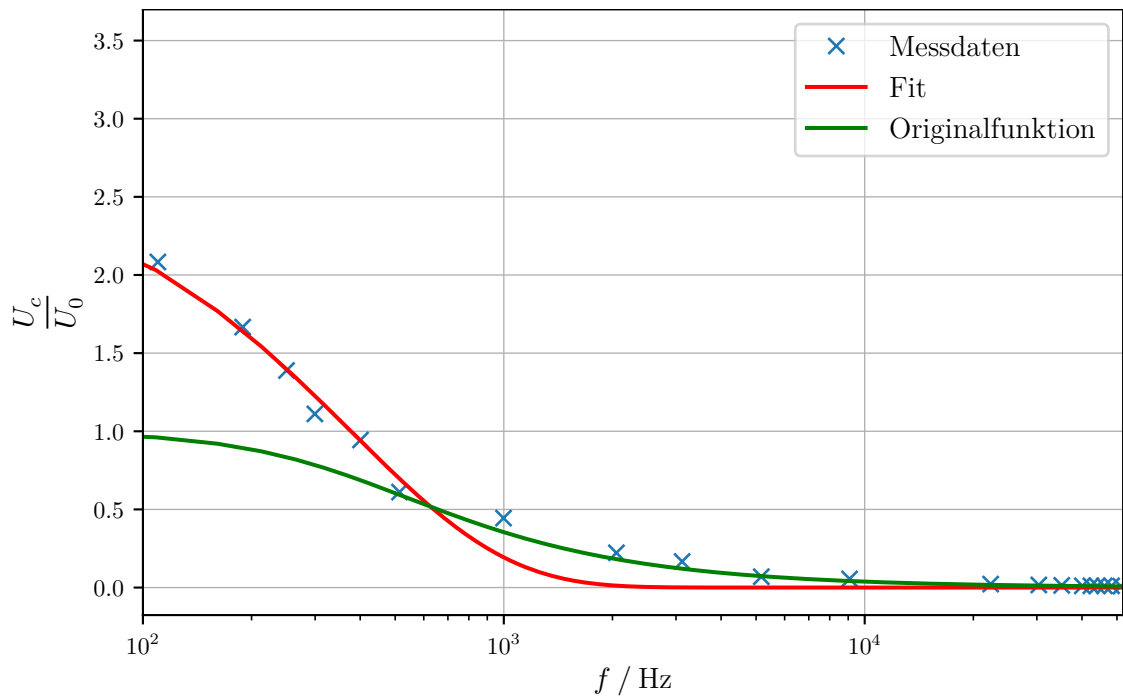


Abbildung 6: Hier sind die Wertepaare aus Tabelle 3 die Ausgleichsrechnung nach (9) und die Originalfunktion nach (6) mit dem berechneten RC in einem halblogarithmischen Diagramm aufgetragen.

Es ergeben sich die Parameter a und b der Ausgleichsrechnung zu:

$$a = (2.6401 \pm 0.2442)\text{ms} = RC$$

$$b = 0.99545 \pm 0.06030$$

Die dritte Methode, die Zeitkonstante RC zu bestimmen, basiert auf einer Ausgleichsrechnung zu den Wertepaaren der Phasenverschiebung φ und der Generatorfrequenz f aus Tabelle 4. Die Ausgleichsrechnung ergibt sich in diesem Fall nach (5) zu:

$$\varphi = a \cdot \arctan(b \cdot t). \quad (10)$$

Wobei hier die Zeitkonstante $RC = b$ ist. Bei dieser Ausgleichsrechnung ergeben sich die

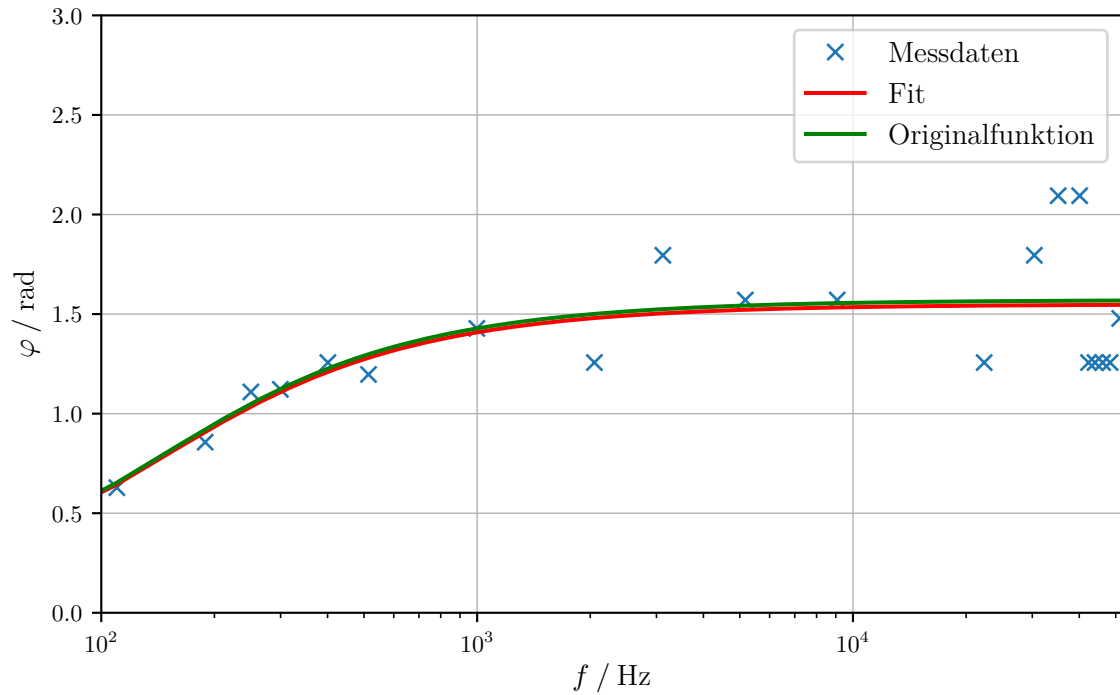


Abbildung 7: Hier sind die Wertepaare aus Tabelle 4, die Ausgleichsrechnung nach (10) und die Originalfunktion nach (5) mit eingesetztem RC in einem halblogarithmischem Diagramm aufgetragen.

Parameter a und b zu:

$$a = 0.9862 \pm 0.0464$$

$$b = (6.9641 \pm 2.0824)\text{ms} = RC$$

Die Abhängigkeit der Relativamplitude $\frac{U_c}{U_0}$ von der Phase φ ergibt sich zu:

$$\frac{U_c}{U_0} = \cos(\varphi).$$

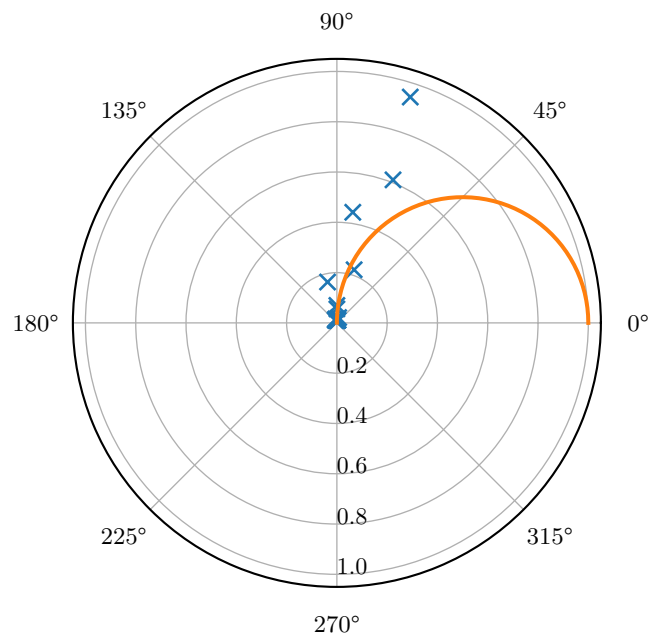
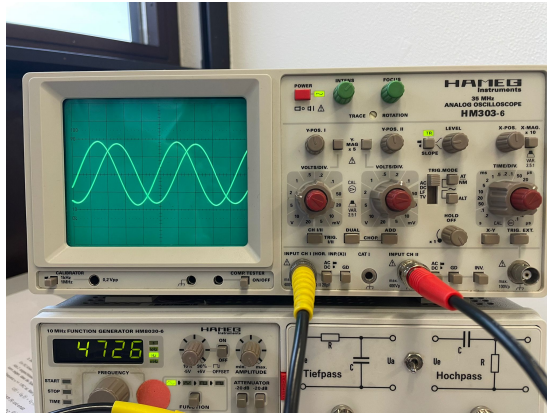
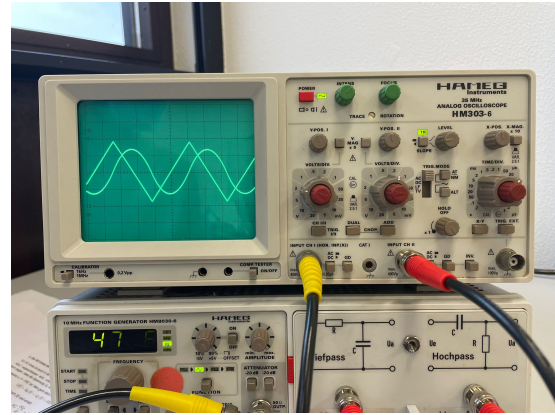


Abbildung 8: Hier wurde die erwähnte Abhängigkeit der Relativamplitude von der Phase, sowie einige Wertepaare aus Tabelle 5 in ein Polardiagramm eingetragen.

Integration verschiedener Generatorspannungen bei einer Frequenz
 $f = 4726\text{Hz}$



(a) sin



(b) Sägezahn

Abbildung 9

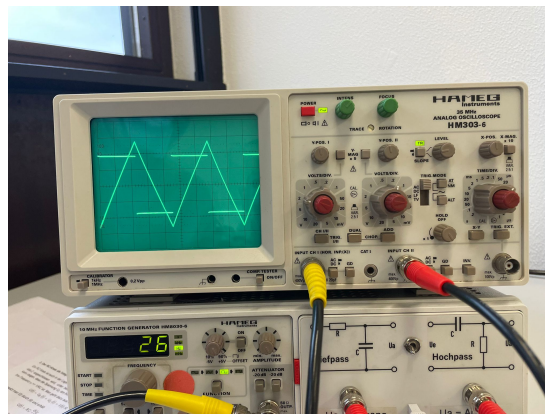


Abbildung 10: Rechteck

5 Diskussion

Bei der ersten Methode, die Zeitkonstante RC über den Entladungsprozess des Kondensators zu bestimmen, fällt sofort im Vergleich zu den anderen Messwerten zu RC auf, dass sich dieser um eine Zehnerpotenz von den anderen unterscheidet.

Diese Differenz kann darauf zurückgeführt werden, dass bei der ersten Methode am Funktionsgenerator der TTL-Output, und nicht, wie dann bei allen anderen, der 50 Ω -Output verwendet wurde.

Außerdem bringt das Ablesen der Werte des Entladungsprozesses aus einem Bild eine zusätzliche Unsicherheit mit sich.

Die in Abbildung 4 erhaltene Kurve entspricht der theoretischen Erwartung eines exponentiellen Abfalls nach (??).

Die Werte, die sich für die Zeitkonstante bei den Methoden 2 und 3 ergeben, liegen beide im selben Bereich, wobei bei Methode ?? bei den Messwerten in Abbildung 6 auffällt, dass diese vor allem für niedrigere Frequenzen immer weiter von der Originalfunktion abweichen, aber bei höheren dieser sehr nahe sind.

Beim Plot für Methode 3 ist nur die Abweichung von der Originalfunktion und der Ausgleichsfunktion für große Frequenzen auffällig, wie es allerdings auf ein Modulieren der TIME/DIV für große Frequenzen zwecks besserer Lesbarkeit auf dem Oszilloskopbildschirm zurückgeführt werden kann.

Dieselbe Abweichung zeigt sich ebenfalls im Polarplot, wo dennoch alle darin aufgetragenen Winkel wie zu erwarten zwischen 0 und $\frac{\pi}{2}$ liegen.

Ein Vergleich der bestimmten Zeitkonstanten mit dem korrekten Wert kann nicht durchgeführt werden, da die dafür erforderlichen Größen Kapazität C und Widerstand R des Tiefpassfilters nicht auf dem Gerät angegeben waren oder gemessen werden konnten.

Die integrierende Eigenschaft des RC-Tiefpasses bei Frequenzen, bei denen $RC/T \gg 1$ gilt, kommt daher, dass die über Widerstand und Kondensator abfallende Spannung einen Strom bedingt, der wiederum vom Kondensator gespeichert beziehungsweise die Elektronen des Stroms summiert. Diese Elektronen sorgen selber für eine sich aufbauende Spannung über den Kondensator, welche gleichzeitig auch die Ausgangsspannung bildet. So kommt es durch die Summation des Stromes, der sich proportional zur Eingangsspannung verhält zu einer Integration der Eingangsspannung.

6 Anhang

Vorbuch 353 16.11.21

Part 42, R200 405, Oszilloskop 10
keine Werte für die Oszilloskop

f	U _e (V)	U _a (V)	akt. Ans. a	Periode - b	φ
5 kHz	2,1 V	1,7 V	0,402 μs = 40,016 μs	42,02 μs	
5,1 kHz	2,2 V	3,6 V	0,402 μs	42,02 μs	
5,13 kHz	0,505 V	1,82 V	0,402 μs	16,50 μs	
5,12 kHz	0,650 V	1,82 V	0,402 μs	17,50 μs	
110 Hz	1,85 V	0,75 V	0,402 μs	42,02 μs	

Folgt dann Ablesen von der Skala ± 0,2 V
bei 20 V U_e

180 Hz	1,85 V	0,75 V	0,402 μs	22,02 μs	
250 Hz	1,85 V	0,75 V	0,402 μs	32,02 μs	
299,5 Hz	0,85 V	0,75 V	0,402 μs	28,02 μs	
400,8 Hz	1,72 V	1,82 V	0,402 μs	1 μs	
998 Hz	1,82 V 0,82 V	1,82 V	0,502 μs	22,02 μs	
2051 Hz	0,8 V	1,82 V	0,202 μs	10,2 μs	
3120 Hz	0,6 V	1,82 V	0,402 μs	16,02 μs	
9,08 kHz	0,405 V	1,82 V	0,202 μs	0,920 μs	
22,36 kHz	0,402 V	1,82 V	0,202 μs	1,50 μs	
30,37 kHz	0,602 V	1,82 V	0,202 μs	0,720 μs	
35,15 kHz	0,502 V	1,82 V	0,202 μs	0,620 μs	
40,09 kHz	0,402 V	1,82 V	0,202 μs	0,620 μs	
45,33 kHz	0,402 V	1,82 V	0,202 μs	1,10 μs	
44,05 kHz	0,402 V	1,82 V	0,202 μs	10 μs	
46,16 kHz	0,402 V	1,82 V	0,202 μs	10 μs	
48,52 kHz	0,402 V	1,82 V	0,202 μs	10 μs	

15 kHz

Abbildung 11: Die genommenen Originaldaten.

Literatur

- [1] *Versuch Nr.353, Das Relaxationsverhalten eines RC-Kreises.* TU Dortmund, Fakultät Physik.